

REVIEW ARTICLE

Identification of Key Players in Photosynthesis: Redesigning C₃ Crops

Maryam Sadeghi^{1,2}, Mohammad Reza Ghaffari³, Farshad Ebrahimpour⁴, Ali Mohammad Banaei-Moghaddam⁵

1. Ph.D. Candidate, Institute of Biochemistry and Biophysics, University of Tehran, Tehran, Iran.
2. Researcher, DNA and Genome Bank, Iranian Biological Resource Center, Karaj, Iran.
3. Associate Professor, Systems Biology Department, Agricultural Biotechnology, Research Institute of Iran (ABRII), Agricultural Research, Education, and Extension Organization (AREEO), Karaj, Iran.
4. Associate Professor, Department of Agriculture, Payame Noor University, Tehran, Iran.
5. Assistant Professor, Institute of Biochemistry and Biophysics, University of Tehran, Tehran, Iran.

Correspondence:

Mohammad Reza Ghaffari
Ali Mohammad Banaei-Moghaddam
Email: ghaffari@abrii.ac.ir
am_banaei@ut.ac.ir

Received: 10, Jan. 2025

Accepted: 14, Mar. 2025

How to cite:

Sadeghi, M., Mohammad Ghaffari, R., & Banaei-Moghaddam, A. M. (2025). Identification of Key Players in Photosynthesis: Redesigning C₃ Crops. *Crop Biotechnology*, 14 (3), 83-101. (DOI: [10.30473/cb.2025.73383.1998](https://doi.org/10.30473/cb.2025.73383.1998))

ABSTRACT

Photosynthesis is a fundamental process, converts solar energy and carbon dioxide into carbohydrates, sustaining all life on Earth. With the global population approaching nine billion, the demand for food and energy has significantly increased. Furthermore, unexpected climate changes such as drought and floods have reduced agricultural land, highlighting the urgent need to improve crop productivity. An ambitious idea to address the global food demand and enhance crop efficiency in hot and arid climates involves redesigning the anatomical and biochemical pathways of C₃ plants based on the metabolic blueprint of C₄ plants. The structural complexity of key enzymes, such as Rubisco, along with the need for proper subunit alignment in the holoenzyme, poses significant challenges to enhancing photosynthetic efficiency through manipulating these enzymes. Since the discovery of photosynthetic pathways, studies have attempted to enhance the expression of certain enzymes from the C₄ photosynthetic pathway in C₃ plants. Although efforts have not yet directly led to significant improvements in photosynthetic efficiency or yield, they underscore the high potential of metabolic engineering as a precise and effective tool for crop improvement. Recent research on engineering C₃ plants has demonstrated that introducing specific genes regulating leaf anatomy and C₄ photosynthetic processes can significantly enhance photosynthesis and yield. Furthermore, emerging findings suggest that enzymes from simpler photosynthetic organisms, such as cyanobacteria and algae, may offer new avenues for substantial improvements in C₃ photosynthetic efficiency. This study discusses these advancements and explores strategies for engineering metabolic pathways to architect C₃ crops based on C₄ models.

KEY WORDS

C₃ photosynthesis, C₄ photosynthesis, Genetic engineering, Rubisco.



© 2025, by the author(s). Published by Payame Noor University, Tehran, Iran.

This is an open access article under the CC BY 4.0 license (<http://creativecommons.org/licenses/by/4.0/>).
<https://cropbiotech.journals.pnu.ac.ir/>

زیست‌فناوری گیاهان زراعی

سال چهاردهم، شماره سوم، پیاپی ۴۹، بهار ۱۴۰۴ (۸۳-۱۰۱)

DOI: [10.30473/cb.2025.73383.1998](https://doi.org/10.30473/cb.2025.73383.1998)

«مقاله موردنی»

شناسایی بازیگران کلیدی فتوسترن: باز طراحی گیاهان زراعی سه کربنی

مریم صادقی^{۱*}، محمدرضا غفاری^۲، فرشاد ابراهیمپور^۳، علی محمد بنائی مقدم^۴

چکیده

فرآیندهای فتوسترن، یکی از تأثیرگذارترین واکنش‌های بیوشیمیایی در کره زمین هستند، به‌طوری که تقریباً تمام موجودات زنده با محصولات فتوسترن تعذیب می‌شوند. امروزه با افزایش جمعیت جهان به مرز نه میلیارد نفر، تقاضا برای غذا و انرژی به طور قابل توجهی افزایش یافته است. علاوه بر آن تغییرات آب و هوایی غیرمنتظره مانند خشکسالی و سیل، مساحت زمین‌های کشاورزی را کاهش داده و این وضعیت، نیاز به بهبود عملکرد محصولات کشاورزی را دوچندان می‌کند. پیچیدگی ساختمانی برخی از آنزیمهای مهم مسیر فتوسترن نظیر روپیسکو و نیاز به همترازی زیر واحدهای آن در هولوآنزیم، چالش‌های جدی را در افزایش کارایی فتوسترن با دستورالعمل آن آنزیمهای وجود آورده است. یکی از ایده‌های بلندپروازانه برای تأمین تقاضای جهانی غذا و بهبود بهره‌وری محصولات در آب و هوای گرم و خشک، بازطراحی مسیرهای آناتومیکی و بیوشیمیایی گیاهان C_3 با استفاده از نقشه متابولیکی گیاهان C_4 بوده است. از زمان کشف مسیرهای فتوسترنی، مطالعاتی در زمینه افزایش بیان برخی از آنزیمهای موجود در مسیر فتوسترنی گیاهان C_4 در گیاهان C_3 انجام شده است. هرچند این افزایش بیان بهنهایی موجب افزایش توان فتوسترنی و تولید محصول بیشتر نشده است، اما نشان‌دهنده پتانسیل بالای مهندسی متابولیک به عنوان ابزاری کارآمد در اصلاح گیاهان زراعی است. یافته‌های اخیر دریچه‌ای جدید برای استفاده از آنزیمهای موجودات فتوسترن‌کننده ساده‌تر، مانند سیانوباکترها و جلبک‌ها، برای بهبود قابل توجه در عملکرد فتوسترن گیاهان C_3 را نشان می‌دهد. این یافته‌ها، روزنه‌های موثرتری برای مهندسی مسیرهای متابولیکی و ایجاد یک معماری مجدد در گیاهان C_3 معرفی کرده است که در این مطالعه به آن اشاره می‌شود.

واژه‌های کلیدی

مهندسی ژنتیک، فتوسترن C_3 ، فتوسترن C_4 ، روپیسکو، سیانوباکترها.

نویسنده مسئول:

محمدرضا غفاری و علی محمد بنائی مقدم
رایانه‌ای:

ghaffari@abrii.ac.ir; am_banaei@ut.ac.ir

تاریخ دریافت: ۱۴۰۳/۱۰/۲۱

تاریخ پذیرش: ۱۴۰۳/۱۲/۲۴

استناد به این مقاله:

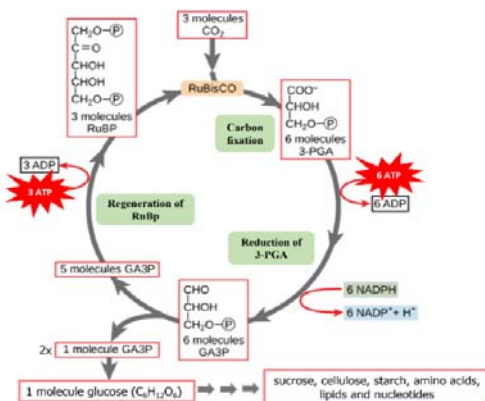
صادقی، مریم؛ غفاری؛ محمدرضا ابراهیمپور، فرشاد، و بنائی مقدم، علی محمد (۱۴۰۴). شناسایی بازیگران کلیدی فتوسترن: بازطراحی گیاهان زراعی C_3 . *فصلنامه علمی زیست‌فناوری گیاهان زراعی*, ۱۴، (۳)، ۸۳-۱۰۱.
(DOI: [10.30473/cb.2025.73383.1998](https://doi.org/10.30473/cb.2025.73383.1998))

حق انتشار این متن متعلق به نویسندهای آن است. © ناشر این مقاله، دانشگاه پیام نور است.

این مقاله تحت مجوز Creative Commons Attribution (CC BY 4.0) منتشر شده و استفاده از آن با ارجاع صحیح مجاز است.

تولید زیستمولکول‌ها

اکثریت قریب به اتفاق کربن آلی روی کره زمین توسط آنزیم روبیسکو^۲ ثبت شده است. این آنزیم کربوکسیلاسیون^۳ ریبولوز ۵-بیس فسفات^۴ (RuBP) را کاتالیز می‌کند که منجر به تولید دو مولکول ۳-فسفوگلیسرات (PGA)^۵ می‌شود. PGA یک ترکیب سه کربنی است که به کمک مصرف ATP^۶ و NADPH^۷ به دست آمده از واکنش‌های وابسته به نور فتوسنتز، به گلیسرآلدئید-۳-فسفات^۸ (G3P) احیا می‌شود. پنج مولکول از شش مولکول G3P تولید شده برای بازسازی مولکول RuBP مصرف می‌شوند تا این روند ادامه یابد. مولکول G3P باقیمانده از شش مولکول که صرف بازیافت نشده، پس از گذر از چند مرحله واکنش‌های آنزیمی، قندهای شش کربنی^۹ را تشکیل می‌دهد. همه مراحل فوق در چرخه کالوین-بنسون^{۱۰} رخ می‌دهد. قندهای شش کربنی تولید شده طی یک سری از واکنش‌های آنزیمی سرانجام به سوکروز^{۱۱}، سلولز^{۱۲} و یا نشاسته^{۱۳} تبدیل می‌شوند (شکل ۱).



شکل ۱. مراحل ثبت کربن در چرخه کالوین بنسون

Figure 1. Carbon fixation steps in the Calvin Benson cycle

2. Ribulose-1,5-bisphosphate carboxylase oxygenase (RuBisCo)
3. Carboxylation
4. Ribulose-1,5-bisphosphate
5. 3-phosphoglycerate
6. Adenosine tri-phosphate
7. Nicotinamide adenine dinucleotide hydrogen phosphate
8. Glyceraldehyde 3-phosphate
9. Hexose phosphates
10. Calvin-Benson cycle
11. Sucrose
12. Cellulose
13. Starch

مقدمه

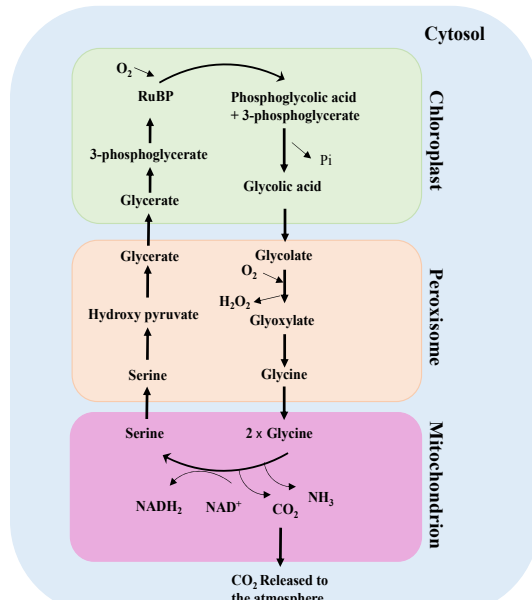
کشاورزی مدرن در طول هفتاد سال گذشته، بدون گسترش زمین‌های کشاورزی و تنها با استفاده گسترده از کود، سموم و همچنین ارقام اصلاح شده باعث افزایش ۱۶۰ درصدی تولید جهانی شده است. با این حال گرمایش زمین، تعییرات اقلیمی غیرقابل پیش‌بینی، کاهش زمین‌های قابل کشاورزی و ضرورت زیست‌محیطی برای استفاده کمتر از کود و مواد شیمیایی چالش‌هایی هستند که در آیندهای نزدیک با آن‌ها روبرو خواهیم شد. بیشتر تلاش‌های اخیر دانشمندان حوزه کشاورزی و علوم گیاهی در محدوده ایجاد مقاومت به تنش های زیستی و غیر زیستی، بیماری‌های گیاهی، کمبود مواد مغذی و تأثیر آن‌ها بر مسیرهای متابولیکی بوده است و در آن‌ها افزایش عملکرد محصولات کشاورزی از طریق افزایش عملکرد فتوسنتز تا حدودی نادیده گرفته شده است. از جمله عواملی که باعث کاهش کارایی فتوسنتز می‌شوند محدودیت‌های فتوشیمیایی، عملکرد دوغانه آنزیم ریبولوز-۵-بیس فسفات کربوکسیلاز-اکسیژن از (RuBisCO) و پیده‌های نام تنفس‌نوری است. با گسترش فناوری‌های نوین، بازنگری مسیرهای مربوط به فتوسنتز به منظور بهبود و افزایش عملکرد محصولات زراعی، می‌تواند از جمله اهداف اصلی محققین برای تضمین امنیت غذایی و گسترش اقتصاد زیستی^۱ باشد. با این حال با توجه به پیچیدگی ژنتیکی، متابولیکی و تشریحی گیاهان، بهبود کارایی فتوسنتز از طریق مهندسی مسیرهای متابولیکی چالش‌برانگیز بوده و ممکن است با صرف هزینه و زمان زیاد نتایج متفاوتی را در گیاهان مختلف به همراه داشته باشد (Trevese et al., 2022). در این مقاله سعی شده است ابتدا عملکرد آنزیم‌های تأثیرگذار در مسیرهای فتوسنتزی و روش‌های مختلف تلاش‌های انجام گرفته جهت بهبود عملکرد فتوسنتز و چالش‌های موجود در این مسیر با توجه به آخرین یافته‌های علمی مورد بررسی قرار گیرد.

مقدار قابل توجهی از انرژی گیاه می‌شود. این فرآیند به ویژه در آب و هوای گرم و خشک، شایع بوده و بازده فتوستتر را تا چهل درصد کاهش می‌دهد. علت این است که در محیط‌های گرم و خشک که سرعت تعرق بالاست، بسته شدن روزنه‌ها در واقع یکی از اولین خطوط دفاعی گیاه در برابر آسیب ناشی از کم آبی است. با بسته شدن روزنه‌ها، غلظت CO_2 در اطراف رویسکو کم شده ولی غلظت O_2 افزایش می‌یابد، زیرا آب که به عنوان عامل احیاکننده (دهنده الکترون) برای زنجیره انتقال الکترون فتوستتری استفاده می‌شود، شکسته شده و اکسیژن به عنوان محصول فرعی آزاد می‌شود. بنابراین تحت شرایط گرم و خشک، به طور همزمان ثبیت کربن توسط گیاه محدود شده و واکنش به نفع اکسیژن‌اسیون^۴ پیش می‌رود (Bauwe *et al.* 2010). واکنش نامطلوب اکسیژن‌نازی رویسکو را می‌توان به عنوان بازمانده‌ای از تاریخ تکامل در نظر گرفت. این آنزیم بیش از سه میلیارد سال پیش هنگامی که اتمسفر زمین مملو از CO_2 و فاقد اکسیژن بوده، تکامل یافته است. بنابراین پس از ظهور اکسیژن حاصل از فتویز آب توسط موجودات فتوستتر کنده، مانند سیانوباکترها^۵ در اتمسفر زمین، آنزیم رویسکو به منظور واکنش اختصاصی با CO_2 تکامل مجدد نیافت (Gowik & Westhoff, 2011). چرخه تنفس نوری، نه تنها کربن های ثبیت شده را دوباره به اتمسفر بر می‌گرداند، بلکه مقدار قابل توجهی از انرژی را برای بازیافت کربن باقیمانده در گلیکولات و تبدیل آن به واسطه‌های مسیر فتوستتر مصرف می‌کند. این مسیر سه اندامک کلروپلاست، پراکسیزوم^۶ و میتوکندری^۷ و آنزیم‌های موجود در آن را درگیر می‌کند. در طول چرخه تنفس نوری، نیتروژن برخی اسیدهای آمینه به صورت آمونیاک^۸ آزاد می‌شود که برای بازیافت مجدد آن نیز مقداری از انرژی گیاه مصرف می‌شود (Keys, 1986). بنابراین از زمان کشف فرآیند فتوستتر، کاهش تنفس نوری یکی از

این قندهای تولید شده در طول متابولیسم کربن، اسکلت‌های کربنی تولید می‌کنند که می‌توانند برای تولید زیست مولکول‌ها مانند اسیدهای آمینه، لیپیدها و اسیدهای نوکلئیک استفاده شوند (Flügge *et al.*, 2016).

چالش‌های آنزیم رویسکو در ثبیت کربن

آنزیم رویسکو علاوه بر کربوکسیلاسیون، می‌تواند واکنش اکسیژن‌اسیون^۹ RuBP را نیز کاتالیز کند که نتیجه آن تولید یک مولکول ۳-فسفوگلیسرات و یک مولکول ۲-فسفوگلیکولات^{۱۰} است. ترکیب اخیر نه تنها هیچ هدف متابولیکی شناخته شده‌ای ندارد بلکه در غلظت‌های بالاتر برای گیاه سمی است. بنابراین فسفوگلیکولات باید در یک مسیر متابولیکی دیگر به نام تنفس نوری^{۱۱} پردازش و حذف شود (شکل ۲).



شکل ۲. واکنش‌های تنفس نوری در گیاهان C_3

Figure 2. Photorespiration reactions in C_3 plants

تنفس نوری باعث از دست رفتن تعدادی از مولکول‌های CO_2 که قبل از ثبیت شده بودند و در نتیجه

4. Oxygenation
5. Cyanobacteria
6. Chloroplast
7. Peroxisome
8. Mitochondria
9. Ammonia

1. Oxygenation
2. 2-phosphoglycolate
3. Photorespiration

کنترل فعالیت رویسیکو است. Rubisco activase یک چاپرون مولکولی^۴ است و به یک محل اتصال در رویسیکو نیاز دارد تا کاربامیلاسیون باقیمانده لیزین را تسهیل کند. فعال ATP^۵ سازی رویسیکو توسط Rubisco activase Rubisco نیاز به ADP/ATP دارد. فعال سازی رویسیکو در صورتی که نسبت ADP/ATP بالا باشد، کاهش می‌یابد ولی توسط نور افزایش می‌یابد. علاوه بر این، آنزیم رویسیکو اکتیواز حذف-۲-کربوکسی دی آرایینتوول ۱-فسفات^۶ یا (CA1P) را از سایتها کاربامیله رویسیکو می‌تسهیل می‌کند. CA1P یک مهارکننده طبیعی رویسیکو با اتصال محکم است که در بسیاری از گونه‌ها در شب به آنزیم متصل می‌شود و باعث کاهش فعالیت آن می‌شود. این ماده احتمالاً تنظیم‌کننده فعالیت رویسیکو در شدت نور کم است، اما ممکن است در محافظت از رویسیکو در برابر تخریب توسط پرووتازها^۷ در زمانی که سوبسترای طبیعی، RuBP، در غلظتها پایین وجود دارد، مهم باشد (Parry *et al.*, 2003). پیچیدگی آنزیم در این است که دی اکسید کربن نه تنها یک سوبستر^۸ برای واکنش کربوکسیلاسیون آنزیم و یک بازدارنده رقابتی برای واکنش اکسیژناسیون آن است، بلکه یک فعال‌کننده برای هر دو فعالیت آنزیم نیز به حساب می‌آید، بنابراین برای بررسی سیستیک واکنش کربوکسیلاسیون آنزیم باید (O₂) Km Vmax Km Ki (CO₂) (O₂) Km (CO₂) و (O₂) (carboxylase) (oxygenase) را به طور همزمان در نظر گرفت. اکسیداسیون و کربوکسیلاسیون ریبولوز بیس فسفات دو واکنش رقابتی هستند و غلظت به ترتیب O₂ و CO₂ در اطراف آنزیم رویسیکو نرخ انجام دو واکنش را تعیین می‌کند.

سازگاری تکاملی

بر اساس مسیر ثبت CO₂، گیاهان فتوسنتزکننده به سه دسته کلی تقسیم می‌شوند: گیاهان کراسولاسه^۹ یا

اهداف مهم بازطراحی فتوسنتز بوده است. در همین راستا تحقیقات زیادی روی آنزیم رویسیکو صورت گرفته است.

مکانیزم پیچیده عملکرد رویسیکو: ساختار، تنظیم و فعال‌سازی

با استفاده از میکروسکوپ الکترونی و کریستالوگرافی اشعه ایکس مشخص شده است که رویسیکو از دو نوع زیرواحد پروتئینی شامل زنجیره بزرگ (L) با وزن حدود ۵۵۰۰۰ دالتون و زنجیره کوچک (S) با وزن حدود ۱۳۰۰۰ دالتون تشکیل شده است. ژن زنجیره بزرگ توسط DNA کلروپلاستی کدگذاری می‌شود، و به طور معمول چندین ژن مرتبط با زنجیره کوچک توسط DNA هسته‌ای کدگذاری می‌شود (Miziorko and Lorimer, 1983). زیرواحد بزرگ رویسیکو توسط ریبوزوم‌های کلروپلاست سنتز می‌شود، در حالی که زیرواحد کوچک آن توسط ریبوزوم‌های سیتوپلاسمی سنتز می‌شود. زنجیره‌های کوچک با عبور از غشاء خارجی کلروپلاست، از سیتوزول به محفظه استرومای کلروپلاست‌ها وارد می‌شوند. در مجموع هشت زنجیره بزرگ و هشت زنجیره کوچک (به صورت چهار دایمر) در یک مجموعه بزرگ‌تر تجمع می‌یابند. محل اتصال سوبسترای ribulose 1,5-bisphosphate دارد و اتصال یک کاتیون دو ظرفیتی مثل Mg²⁺ و آئیون بیکربنات (HCO₃⁻) باعث ایجاد یک تغییر اساسی در ساختار فضایی آنزیم می‌شود که برای فعال‌سازی آنزیم ضروری است. همچنین یک باقیمانده^۱ لیزین^۲ در جایگاه فعال آنزیم به صورت حفاظت شده در گونه‌های مختلف وجود دارد. برای فعالیت رویسیکو، کاربامیلاسیون^۳ (اضافه شدن یک مولکول CO₂ به گروه آمین زنجیره جانبی) این اسیدآمینه ضروری است. علاوه بر این، شروع فعالیت آنزیم رویسیکو به حضور آنزیم Rubisco activase بستگی دارد. فعالیت آنزیم اخیر نیز با نسبت ATP/ADP، پتانسیل ردوکس و میزان شدت نور کنترل می‌شود. تشکیل برگشته‌پذیر یک کاربامات در محل کاتالیزوری و ثبت آن توسط Mg²⁺ مکانیسم اصلی

4. Molecular chaperone

5. Adenosine triphosphate

6. 2-carboxy-D-arabinitol 1-phosphate

7. Protease

8. Substrate

9. Crassulacean acid metabolism

1. Residue

2. Lysine

3. Carbamylation

استفاده می‌کند تا اسید اگزالواستیک^۹ (OAA) چهار کربنه را تشکیل دهد. واکنش احیا شدن و تبدیل OAA به مالات توسط آنزیم مالات دهیدروژنаз (MDH) صورت می‌گیرد. در مرحله بعد مالات از طریق پلاسمودسماتا^{۱۰} به سلول‌های غلاف آوندی^{۱۱} انتقال می‌یابد. در این مکان است که CO₂ ذخیره شده در این اسید چهار کربنه، با فعالیت آنزیمی ذکریکسیلاسیون^{۱۲} آزاد می‌شود و غلظت آن به حدی می‌رسد که جایگاه فعال روپیسکو را اشیاع می‌کند. مرحله بعد شامل بازسازی و احیای فسفوانول‌پیررووات (پذیرنده اولیه CO₂) (PPDK)، با توسط آنزیم پیررووات ارتوفسفات دی‌کیناز^{۱۳} (PPDK)، با مصرف دو مولکول ATP و سپس انتقال آن به سلول‌های مزو菲尔 است. در فتوستتر C₄ الگوی بیان ژن‌های کد کننده آنزیم روپیسکو هم تغییر یافته و حضور روپیسکو به سلول‌های غلاف آوندی محدود شده است. یعنی علاوه بر تغییرات آناتومی و بیوشیمیایی، در تنظیم بیان ژن‌ها نیز طی تکامل تغییراتی رخ داده است. در شکل سه مسیرهای متابولیکی C₃ و CAM و C₄ به صورت خلاصه نمایش داده شده‌اند.

تاکنون دو آنزیم دکربوکسیلاز اصلی به نام‌های NADP-ME^{۱۴} و NAD-ME^{۱۵} شناسایی شده‌اند. در همه گیاهان C₄ یک مرحله آنزیمی مشترک وجود دارد، که شامل واکنش دکربوکسیلاسیون اولیه توسط PEPC است که نتیجه آن تولید اسید اگزالواستیک در سلول‌های مزو菲尔 است. مراحل بعدی که شامل انتقال متابولیت‌ها و محل واکنش دکربوکسیلاسیون است، بین زیر گروه‌ها متفاوت است. در زیر گروه NADP-ME ترکیب چهار NADP-malate dehydrogenase کربنه اگزالواستات توسط آنزیم کربنیکی و به عنوان متابولیت غالب به سلول‌های غلاف آوندی منتقل می‌شود. پیررووات در طی واکنش دکربوکسیلاسیون تشکیل می‌شود و به سلول‌های مزو菲尔 باز می‌گردد تا توسط آنزیم pyruvate phosphate dikinase فسفوریله شده و به فسفو انول پیررووات تبدیل شود.

9. Oxaloacetic acid
10. Plasmodesmata
11. Bundle sheath
12. Decarboxylation
13. Pyruvate orthophosphate dikinase
14. NADP-dependent malic enzyme
15. NAD-dependent malic enzyme

CAM، گیاهان C₃ و گیاهان C₄. تفاوت‌های موجود در این سه دسته در جدول (۱) خلاصه شده است.

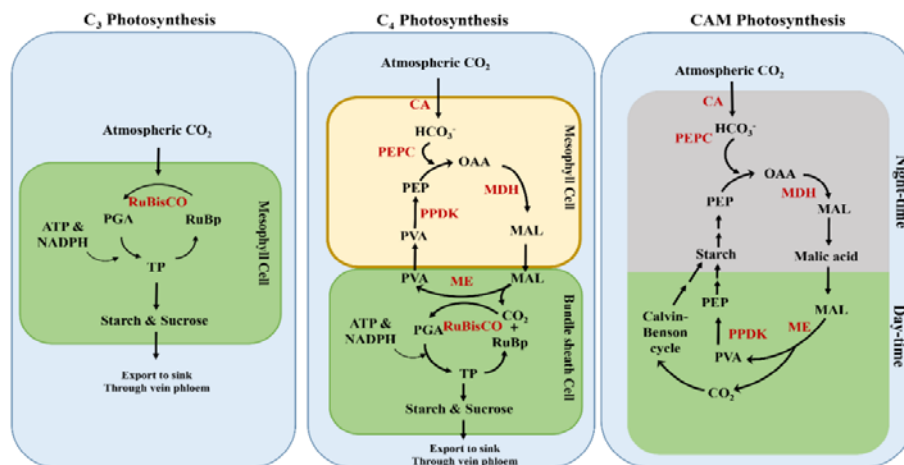
رایج‌ترین فرم، فتوستتر C₃ نام دارد. علت این نام‌گذاری سه کربنه بودن اولین ترکیب پایدار ناشی از تثبیت CO₂ یعنی 3-phosphoglycerate است. اکثر گیاهان C₃ هستند اما به دلیل تنفس نوری که پیش‌تر به آن پرداختیم، بازده فتوستتر در این گیاهان کم است. متابولیسم کراسولاسه یک راه حل طبیعت جهت کاهش تنفس نوری در طول تاریخ تکامل بوده است. در این مسیر، روزنده‌ها در طول روز بسته‌اند و فقط در شب که دما کاهش و رطوبت افزایش می‌یابد، روزنده‌ها باز می‌شوند. در این گیاهان CO₂ به صورت مالات^۱ در واکوئل‌ها^۲ ذخیره شده و در طول روز برای تثبیت توسط آنزیم روپیسکو آزاد می‌شود. در حالی که گیاهان C₃ در آب‌وهوای معتدل به خوبی رشد می‌کنند، گیاهان کراسولاسه (مانند خانواده کاکتوس‌ها^۳) با شرایط بسیار خشک سازگار شده‌اند، اما سرعت رشد در آن‌ها بسیار کم است. موفق‌ترین راه حل طبیعت برای مقابله با تنفس نوری، تکامل فتوستتر C₄ بوده است. فتوستتر C₄ مجموعه‌ای از تغییرات آناتومیکی و بیوشیمیایی است که CO₂ را در اطراف آنزیم روپیسکو متتمرکز می‌کند. مسیر C₄ به طور مستقل بیش از ۶۰ بار در خانواده‌های آنثیوسپرمه‌ها^۴ یا گیاهان گلدار تکامل یافته است و بنابراین می‌توان آن را یکی از همگرایترین پدیده‌های تکاملی^۵ دانست. منشأ پیدایش فتوستتر C₄ در دولپه‌ای‌ها، مناطق خشک با عرض جغرافیایی کم در نظر گرفته شده و اثرات ترکیبی گرما، خشکی و شوری به عنوان شرایط ضروری تکامل C₄ معرفی شده‌اند (Parry *et al.*, 2003). در تمام نسخه‌های فتوستتر C₄ گام اولیه تثبیت کربن غیر آبی یا CO₂، فعالیت آنزیم فسفوانول‌پیررووات دکربوکسیلاز^۶ (PEPCase) است. این آنزیم که تنها در سلول‌های مزو菲尔 وجود دارد، از بیکربنات^۷ (HCO₃⁻) برای کاتالیز دکربوکسیلاسیون فسفوانول‌پیررووات^۸ (PEP) سه کربنه

1. Malate
2. Vacuoles
3. Cactaceae
4. Angiosperms
5. Polyphyletic evolution
6. Phosphonol pyruvate carboxylase
7. Bicarbonate
8. Phosphoenolpyruvate

جدول ۱. تفاوت‌های موجود در سه مسیر اصلی فتوستتری در گیاهان

Table 1. The differences in three main photosynthetic pathways in plants

گیاهان C ₃	گیاهان C ₄	گیاهان CAM	خصوصیات
زیاد (تا بیش از ۴۰ درصد)	کم	خیلی کم	میزان تنفس نوری
دماهی معتدل	مناطق گرمسیری، درجه حرارت بالا در روز (۳۰ تا ۳۵ درجه سانتی گراد)	آب و هوای گرم و خشک، نیمه‌بیابانی (دماهی بیش از ۴۰ درجه سانتی گراد)	زیست‌گاه طبیعی
زیاد	کم	بسیار کم	میزان از دستدادن آب در اثر تعرق
بدون تغییر	واکنش‌های نوری مولد اکسیژن و واکنش‌های چرخه کالوین از نظر مکانی از یکدیگر جدا شده و در سلول‌های متفاوت انجام می‌شوند	واکنش‌های نوری مولد اکسیژن و واکنش‌های چرخه کالوین از نظر مکانی از یکدیگر جدا شده	تغییرات تکاملی جهت کاهش تنفس نوری
مزوفیل	مزوفیل و غلاف آوندی (آناتومی کرانز)	مزوفیل	نوع سلول‌های ثابت‌کننده کریں
Ribulose-1,5-bisphosphate	phosphoenolpyruvate	phosphoenolpyruvate	اولین ترکیب پذیرنده کریں
RuBisCO	Phosphoenolpyruvate carboxylase	Phosphoenolpyruvate carboxylase	اولین آنزیم کربوکسیله کننده
3-phosphoglycerate	ابتدا تولید اسید آگزالواسیک و سیس	ابتدا تولید اسید آگزالواسیک و سیس	اولین محصول پایدار
اکثر گیاهان، از جمله محصولات مهم کشاورزی مانند برنج و گندم	تبدیل به مالات یا آسپارتیک اسید	تبدیل به مالات	مال
گیاهان علفی گرمسیری، ذرت، نیشکر	گیاهان، ارکید، گل خنجری، گیاه یشم، گیاه سود		



شکل ۳. انواع مسیرهای فتوستتری در گیاهان

Figure 3. Different types of photosynthetic pathways in plants

غلاف آوندی حفظ شود. آلانین طی چند مرحله به PEP تبدیل شده تا پیش‌ساز دور جدیدی از کربوکسیلاسیون و دکربوکسیلاسیون را فراهم کند (Rao & Dixon 2016). مشخصات متابولیکی این گیاهان در جدول ۲ خلاصه شده است.

تکامل یافته‌ترین شکل مسیر C₄ شامل جداسازی فضایی واکنش‌های متابولیکی بین دو نوع سلول مختلف است که در یک آناتومی ویژه در برگ به نام کرانز¹ سازماندهی شده‌اند.

در زیر گروه NAD-ME، آگزالواسیتات توسط آنزیم aspartate aminotransferase و به آسپارتات تبدیل شده و به میتوکندری سلول‌های غلاف آوندی منتقل می‌شود. در میتوکندری، آسپارتات طی واکنش‌های reductive deamination به مالات تبدیل می‌شود. مالات پس از دکربوکسیله شدن توسط آنزیم NAD-malic enzyme به پیروات تبدیل می‌شود. پیروات در سیتوسل سلول‌های غلاف آوندی توسط آنزیم alanine aminotransferase به آلانین تبدیل می‌شود و به سلول‌های مزوفیل بازمی‌گردد تا تعادل آمونیاک بین دو سلول مزوفیل و

1. Kranz

جدول ۲. انواع مسیرهای موجود در فتوسترنز C₄

Table 2. Types of pathways in C₄ photosynthesis

مثال	ترکیب سه کربن‌های که به سلول‌های مزو菲尔 بر می‌گردد	آنژیم	محل واکنش	ترکیب چهار کربن‌های که وارد سلول‌های غلاف آوندی می‌شود	انواع مسیر C ₄
ذرت، نیشک، سور گوم <i>Bristlegrasses</i>	پیروات	NADP-ME	کلروپلاست	مالات	NADP-ME
گیاه خرفه و <i>Portulaca oleracea</i>	آلاتین	NAD-ME	میتوکندری	آسپارتات	NAD-ME

دستورالعمل‌های ژنتیکی می‌تواند بدون تحت تأثیر قرار دادن کارآمدی مصرف بهینه نیتروژن، میزان تولید زیست توده را در گیاهان C₃ و C₄ تا حدودی افزایش دهد (Salesse- Smith *et al*, 2024). برخی از گیاهان مهم زراعی از جمله ذرت^۱، سور گوم^۲، نیشک^۳ و ارزن^۴ جزء این گروه هستند. هم سلول‌های مزو菲尔 و هم سلول‌های غلاف آوندی برای سازگاری در سیستم گیاهان C₄ تحت تغییرات آناتومیکی قرار گرفته‌اند. در نتیجه این تغییرات، سلول‌های غلاف آوندی بزرگ شده و برای انجام واکنش‌های چرخه کالوین اختصاصی شده‌اند، همچنین توسط تعداد زیادی پلاسمودسماتا به سلول‌های مزو菲尔 متصل شده‌اند تا انتقال شاتل‌های CO₂ (مالات و آسپارتات) شده‌اند تا انتقال شاتل‌های CO₂ (مالات و آسپارتات) سریع‌تر و بهتر صورت گیرد. برگ‌ها تراکم بالاتری از رگبرگ‌ها را نشان می‌دهند تا اطمینان حاصل شود که هر سلول مزو菲尔 در تماس مستقیم با یک سلول غلاف آوندی است. مقدار آنژیم کلیدی فسفوanol پیرووات کربوکسیلاز در سلول‌های مزو菲尔 گونه‌های C₄ بسیار بیشتر از مقدار آن در گونه‌های C₃ است، همچنین خواص سیستمیک آن‌ها نیز متفاوت است (Gowik & Westhoff, 2011).

بازطرابی مسیرهای بیوشیمیایی فتوسترنز در گیاهان C₃

جمعیت جهان بهزودی به مرز نه میلیارد نفر خواهد رسید و این افزایش جمعیت به معنای تقاضای بیشتر برای غذا است. از طرف دیگر تغییرات آب‌وهوایی غیرمنتظره مانند خشکسالی و سیل، مساحت زمین‌های کشاورزی را بیشتر

2. *Zea mays*

3. *Sorghum bicolor*

4. *Saccharum officinarum*

5. *Pennisetum glaucum*

کرانز در زبان آلمانی به معنای تاج گل است و چون دو نوع سلول (مزوفيل و غلاف آوندی) در اطراف رگبرگ ساختمانی شبیه به تاج گل ایجاد می‌کنند، به این نام خوانده می‌شود. در سلول‌های مزو菲尔 ابتدا CO₂ توسط آنژیم کربنیک انھیدراز^۵ (CA) به بیکربنات تبدیل شده و پس از آن توسط یک کربوکسیلاز (غیرحساس به O₂) به یک ترکیب چهار کربنی تبدیل می‌شود. این واکنش در سلول‌های مزو菲尔 اتفاق می‌افتد. سپس این ترکیب چهار کربنی به سلول‌های غلاف آوندی منتقل می‌شود، جایی که برای آزاد کردن CO₂ دکربکسیله می‌شود. در اکثر گیاهان C₄ به دلیل قرارگیری سلول‌های غلاف آوندی در زیر سلول‌های مزو菲尔 (آناتومی کرانز) نور کمتری در مقایسه با سلول‌های مزو菲尔 به این سلول‌ها می‌رسد، در نتیجه واکنش‌های وابسته به نور بیشتر در سلول‌های مزو菲尔 رخ می‌دهد. بنابراین رویسکو در سلول‌های غلاف آوندی و به دور از اکسیژن، از CO₂ آزاد شده، اشباع می‌گردد. این جداسازی فیزیکی رویسکو از واکنش‌های نوری تولید کننده اکسیژن، تنفس نوری را کاهش و ظرفیت فتوسترنز برگ را افزایش می‌دهد. این گیاهان قدر بیشتری نسبت به گیاهان C₃ در شرایط نور شدید و دمای بالا تولید می‌کنند. علاوه بر این، چون آنژیم رویسکو در غلظت‌های بالاتر CO₂ کارآمدتر عمل می‌کند، گیاهان C₄ به آنژیم کمتری نیاز دارند و از آنجایی که این آنژیم فراوان ترین پروتئین در برگ‌های گیاه است، منجر به صرفه‌جویی در مصرف نیتروژن در این گیاهان شده است Romanowska & Wasilewska-Dębowska, (2022). با این وجود در یک مطالعه جدید نشان داده شده است که افزایش میزان تولید آنژیم رویسکو با

1. Carbonic anhydrase

به نظر می‌رسد حفاظت بالای ساختار رو بیسکو گیاهی در طی تکامل باعث شده است که تمام اصلاحاتی که هدف آن‌ها جایگاه‌های فعال این آنزیم هستند با شکست مواجه شوند. علاوه بر این، رو بیکردهای امیدوارکننده‌ای برای شناسایی جایگاه‌های جایگزین برای اصلاح وجود ندارد و روش‌های غربالگری با بازدهی بالا^۸ که در مهندسی آنزیم استفاده می‌شوند، به راحتی قابل استفاده نیستند. چالش دیگر، پیچیدگی زیاد در تاریختن کلروپلاست‌ها است که امکان انجام اصلاحات موققیت‌آمیز را محدود می‌کند. به همین دلیل، طی چندین دهه، تلاش‌ها برای بهبود کارایی رو بیسکو در گیاهان موققیت محدودی داشته‌اند. همچنین NADP-PEPCase بیشتر هر یک از دو آنزیم C₃ و C₄ را بیشتر ME در گیاهان تاریخته C₃ باعث افزایش توان Ruan (2012). با این حال مهندسی ژنتیک ابزار اصلاحی کارآمد و دقیقی است که با آن می‌توان مجموعه‌ای از ژن‌هایی که آناتومی برگ و فرآیندهای بیوشیمیابی فتوسترن C₄ را تنظیم می‌کنند، در گیاهان مورد نظر معرفی و بیان کرد (Karki *et al.*, 2013). همچنین ایجاد گیاهان جهش‌یافته ابزار مهمی در مطالعه علوم گیاهی مدرن و تحقیقات زیست‌شناسی مولکولی هستند و گاهی اوقات می‌توانند یک منبع جدید برای بهبود ژنتیکی گیاهان باشند، و با اینکه جهش‌یافته‌ها می‌توانند به روشن شدن دلیل برخی تفاوت‌ها در مسیرهای فتوسترنی کمک کنند. به عنوان مثال ژن OsBP-73 در برنج یک پروتئین متصل شوند به DNA را کد می‌کند که احتمال می‌رود در تنظیم رونویسی یک ژن دیگر به نام *waxy* gene نقش داشته باشد. برنج تاریخته که در آن ژن OsBP-73 خاموش شده^۹، نسبت به نوع وحشی^{۱۰}، دارای بوته‌های کوتاه‌تر، خوش‌های کوچک‌تر و تعداد کمتر دانه در هر خوش بود. همچنین این گیاه تاریخته حاوی مقدار کمتری کلروفیل، آنزیم رو بیسکو و Rubisco activase بود. بررسی‌های بعدی نشان داد که کاهش ۲۹,۳ درصدی نرخ فتوسترن خالص برگ در این برنج تاریخته که ژن OsBP-

از گذشته کاهش داده است. با این شرایط ضروری است که به بهبود عملکرد محصولات مهم کشاورزی مانند برنج^۱، گندم^۲، جو^۳، سویا^۴ و سیب‌زمینی^۵ که جزء گیاهان C₃ هستند، بپردازیم. از زمان کشف فتوسترن C₄ در اواسط دهه ۱۹۶۰، و شناسایی مزایای این مسیر فتوسترنی نسبت به نوع C₃، تلاش‌های بسیاری جهت انتقال صفات مطلوب C₄، با استفاده از روش‌های مرسوم اصلاح نباتات^۶، به گیاهان C₃ انجام گرفت. تلاقي‌هایی بین گونه‌های C₃ مانند برنج و C₄ ذرت انجام گرفت (Brown and Bouton, 1993) (Brown and Bouton, 1993) صفات والد C₃ را نشان داده‌اند. توسعه سریع زیست‌شناسی مولکولی و مهندسی ژنتیک، دانشمندان را به فکر تولید آنزیم رو بیسکو مهندسی شده با ویژگی تمایل دو برابر برای واکنش با CO₂، کاهش تمایل برای واکنش با Raines اکسیژن و سرعت کاتالیتیکی بالاتر اندادخت (Raines, 2006). یکی از مشکلات دستورزی^۷ رو بیسکو در گیاهان عالی، پیچیدگی ساختمانی آن است که از هشت زیر واحد پلی‌پپتیدی بزرگ و هشت زیر واحد کوچک تشکیل شده است. ژن‌های کدکننده زیر واحد کوچک در ژنوم هسته هستند، اما ژن‌های زیر واحد بزرگ در ژنوم کلروپلاست کدگذاری می‌شوند و مشکلاتی را در موئاذر زیر واحدهای بزرگ و کوچک در هولوآنزیم، پس از دستورزی ایجاد می‌کنند. از جهش‌زایی در شرایط آزمایشگاهی برای ایجاد تغییراتی در DNA کدکننده زیر واحدهای بزرگ و کوچک، استفاده شده است و تلاش‌هایی برای بهبود خواص آنزیم رو بیسکو به کمک جایگزینی اسید آمینه‌های خاص در جایگاه فعال آنزیم در زیر واحد بزرگ انجام گرفته است. اما تجزیه و تحلیل مسیر تنفس نوری گیاهان تاریخته نشان داد که احتمال اینکه فتوسترن C₃ تنها با دستکاری مستقیم یک آنزیم منفرد در این مسیر، بهبود یابد بعید به نظر می‌رسد (Parry *et al.*, 2003). بنابراین

1. *Oryza sativa* L.

2. *Triticum aestivum*

3. *Hordeum vulgare*

4. *Glycine max*

5. *Solanum tuberosum*

6. Conventional methods of plant breeding

7. Genetic manipulation

فعالیت آنزیم رویسکو در مقایسه با گیاهان غیرتاریخته دیده شد (Miyagawa *et al.*, 2001).

یکی از عوامل مهم محدودکننده میزان فتوستتر و رشد در گیاهان، محدودیت در دسترسی آنزیم رویسکو به CO₂ است. در یک تحقیق، ژن *ictB* از میکروارگانیزم *Synechococcus sp. PCC7942* به گیاهان آرایدوبسیس^۱ و تباکو منتقل شد. این ژن در تجمع HCO₃⁻ در این میکروارگانیزم نقش دارد. گیاهان تاریخته نرخ فتوستتری بالاتری نسبت به گیاهان غیرتاریخته در شرایط کمبود CO₂ و رطوبت نشان دادند. میزان رهاسازی CO₂ در جریان تنفس نوری در گیاهان تاریخته نسبت به نوع غیرتاریخته کمتر بود که نشان دهنده غلظت بالاتر CO₂ در اطراف آنزیم رویسکو در این گیاهان است. جهش یافته‌های این ژن تنها قادر به رشد در غلظت‌های بالای CO₂ بودند که نشان دهنده اهمیت این ژن در افزایش غلظت CO₂ در این میکروارگانیزم‌ها است (Arce *et al.*, 2022). ثبت CO₂ در چرخه کالوین بدون مولکول‌های ATP و NADPH به دست آمده از زنجیره انتقال الکترون فتوستتری امکان‌پذیر نیست. در یک تحقیق ژن کدکننده c6 cytochrome az جلبک *Porphyra yezoensis* به گیاه آرایدوبسیس منتقل شد. پس از گذشت ۶۰ روز از کاشت گیاهان تاریخته، ارتفاع بوته، طول برگ و طول ریشه به ترتیب ۱,۱, ۱,۳ و ۱,۳ برابر بیشتر از گیاهان نوع وحشی بود. همچنین در این گیاهان مقدار کلروفیل، پروتئین، ATP و NADPH نشاسته به ترتیب ۱,۲, ۱,۹, ۱,۱, ۱,۴ و ۱,۲ برابر بیشتر از گیاهان غیرتاریخته بود. علاوه بر این ظرفیت ثبت CO₂ در این گیاهان ۱,۳ برابر افزایش داشت. نتایج این تحقیق نشان داد که میزان رشد و فتوستتر گیاه آرایدوبسیس را می‌توان با بیان سیتوکروم جلبکی در آن افزایش داد (Lieman-Hurwitz *et al.*, 2005). این آزمایشات به همراه دهها آزمایش دیگر نشان می‌دهند که آنزیمهای پروتئینی‌های دخیل در فتوستتر در موجودات فتوستتر کننده ساده‌تر سیانوبکترها و جلبک

RuBP ۷۳ آن خاموش شده، به محدودیت کربوکسیلاسیون RuBP و بازسازی RuBP نیز مربوط می‌شود. از نتایج به دست آمده نتیجه‌گیری شد که محدودیت در بازسازی RuBP یک دلیل غالب برای کاهش نرخ فتوستتر محاسبه شود (Chen, Xu, 2007). بنابراین می‌توان نتیجه گرفت که نرخ پایین فتوستتر تنها مربوط به عملکرد پایین آنزیم رویسکو نمی‌شود و عوامل دیگری مانند سرعت کم بازسازی مولکول RuBP نیز می‌توانند در کارآمدی فتوستتر تأثیر داشته باشند. تحقیقات زیادی جهت تولید گیاهان تاریخته انجام گرفت که در آنزیمهای مهم بخش بازسازی RuBP افزایش بیان داشتند. از جمله این آنزیمهای می‌توان به FBPase fructose-1,6-bisphosphatase SBPase sedoheptulose-1,7-bisphosphatase و اشاره کرد. اگرچه تمامی آنزیمهای موجود در چرخه کالوین جهت ثبت CO₂ ضروری هستند، ولی سطوح غلظت این دو آنزیم نسبت به سایر آنزیمهای این چرخه پایین‌تر است (Woodrow & Mott, 1993). این دو آنزیم واکنش‌های برگشت‌ناپذیر^۲ را کاتالیز می‌کنند و به نظر می‌رسد در تنظیم سرعت چرخه کالوین نقش داشته باشند. سیانوبکترها^۳ حاوی یک آنزیم منحصر به فرد به نام fructose-1,6-/sedoheptulose-1,7-bisphosphatase یا باختصار FBP/SBPase این آنزیم واکنش دفسفوریلاسیون^۴ دو سوبستراتی sedoheptulose- fructose-1,6-bisphosphatase ۱,7-bisphosphatase را به طور یکسان کاتالیز می‌کند و هیچ ارتباطی در گیاهان عالی ندارد. در یک تحقیق این ژن به کلروپلاست گیاه تباکو انتقال داده شد. بیان بیش از ۷۴ آنزیم FBP/SBPase سیانوبکتری در کلروپلاست‌های گیاهان تاریخته تباکو^۵ منجر به افزایش ظرفیت فتوستتری، افزایش سنتز و تجمع کربوهیدرات‌ها و سرعت رشد شد. در مقایسه با گیاه تباکو غیرتاریخته، ماده خشک نهایی^۶ یک و نیم برابر و ثبت CO₂ فتوستتری ۱,۲۴ برابر افزایش داشت. همچنین افزایش ۱,۲ درصدی در

1. Irreversible reactions

2. Cyanobacteria

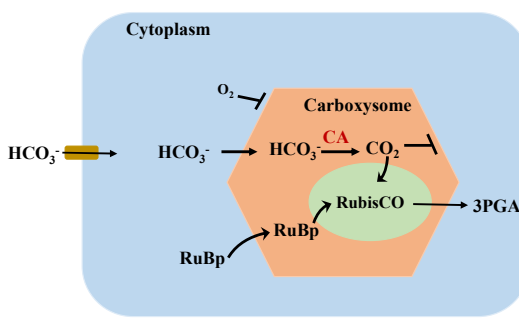
3. Dephosphorylation

4. *Nicotiana tabacum*

5. Final dry matter

یک مخزن درون سلولی کربن معدنی محلول به شکل بیکربنات کمک می کند (Sadeghi *et al.*, 2024).

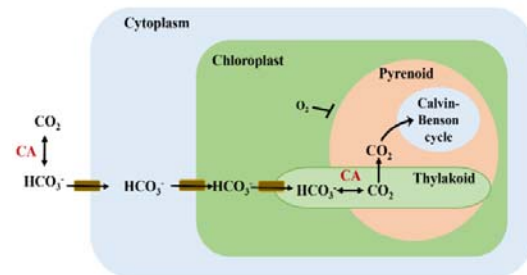
سیانوباکترها مدل ایده‌آل در باز طراحی فتوسنتز گونه‌های سیانوباکترهای امروزی و کلروپلاست‌های گیاهان عالی دارای یک جد مشترک هستند. این سیانوباکترها چرخه زندگی سریع دارند و می‌توانند در محیط‌های نامناسب از نظر خشکی، شوری و دما زندگی کنند. به همین دلایل سیانوباکترها تا مدت‌ها به عنوان موجودات مدل برای تحقیقات فتوسنتز استفاده می‌شوند. هنگامی که هدف، بهبود فتوسنتز و تثبیت CO_2 در گیاهان است، سیانوباکترها منبع غنی از استراتژی‌های متنوع را ارائه می‌دهند. آنزیم رویسیکو در سیانوباکترها نیز مانند رویسیکو گیاهان قادر به تمایز بین مولکول‌های CO_2 و O_2 نیست که منجر به واکنش جانی اکسیژناسیون و تنفس نوری می‌شود. برخلاف اکثر گیاهان C_3 که با افزایش تولید پروتئین رویسیکو این نقص را جبران کرده‌اند، سیانوباکترها آنزیم رویسیکو را به همراه مقدار زیادی آنزیم کربونیک آنهیدراز در یک محفظه پروتئینی بیست وجهی به نام کربوکسیزوم^۴ مخصوص کرده‌اند (شکل ۵).



شکل ۵. مسیر تمرکز کربن در اطراف رویسیکو در سیانوباکترها توسط اندامک کربوکسیزوم

Figure 5. Carbon concentration pathway around Rubisco in cyanobacteria by the carboxysome organelle

ها نسبت به انواع متناظر شان در گیاهان عالی، کارآمدتر هستند (Walter and Kromdijk, 2021). همچنین قابلیت‌های فتوسنتزی منحصر به فرد، بیشتر در موجوداتی که با شرایط سخت کنار می‌آیند یافت می‌شود. به عنوان مثال در جلبک سبز *Chlorella ohadii* که اخیراً از پوسته بیولوژیک^۱ خاک بیابان جدا و کشف شده است (Treves *et al.*, 2022) و رشد RuBP^۲ بسیار بالا گزارش شده است. تحمل نور شدید بیابان یکی دیگر از مشخصات منحصر به فرد این جلبک است. این ریز جلبک^۳ بیکربنات را به داخل سلول‌های خود پمپ می‌کند و CO_2 را در ریزساختارهایی به نام پیرنوئیدها^۴ جمع می‌کند. پیرنوئیدها در کلروپلاست‌های بسیاری از جلبک‌ها وجود دارند و حاوی مقادیر بسیار بالای آنزیم رویسیکو می‌باشند (شکل ۴).



شکل ۴. مسیر تمرکز کربن در اطراف رویسیکو در جلبک‌ها توسط اندامک پیرنوئید

Figure 4. Carbon concentration pathway around rubisco in algae by pyrenoid organelle

وظیفه اصلی پیرنوئیدها ایجاد یک محیط غنی از CO_2 در اطراف آنزیم رویسیکو می‌باشد. در این موجودات، انتقال فعال بیکربنات از محیط خارج سلولی به پیرنوئیدها و از طریق ناقلین اختصاصی در غشا پلاسماء، غشا کلروپلاست و غشا تیلاکوئید انجام می‌شود. همچنین تصور می‌شود که آنزیم کربونیک آنهیدراز به میزان زیاد در فضای پری‌پلاسمی، سیتوپلاسمی و استرومای کلروپلاست وجود دارد که به حفظ

رسد ارتوفسفات اثر معکوس دارد (Portis, 2003). سیانوباکترها ویژگی تمايل کم رویسکو به CO₂ را با کپسوله سازی آن در انداzek کربوکسیزوم جبران کرده‌اند. از زمان کشف مکانیزم ثبیت کربن در سیانوباکترها این سؤال پیش آمد که با توجه به مزایای انداzek کربوکسیزوم، آیا می‌توان رویسکوهای گیاهی را به همراه آنزیم کربونیک آنهیدراز در کربوکسیزوم‌های سیانوباکتریایی کپسوله کرد. برای پاسخ به این پرسش مطالعاتی روی تعامل آنزیم رویسکو با قسمت داخلی پوسته کربوکسیزوم و سایر اعضا داخلی مانند آنزیم کربونیک آنهیدراز انجام گرفت. مقایسه پتانسیل الکترواستاتیک سطح رویسکو گیاهی و سیانوباکتریایی نشان داد که رویسکو کربوکسیزومی نسبت به رویسکو کلروپلاستی بار منفی زیادتری در سطح خود دارد. بنابراین، قرار دادن رویسکو گیاهی در کربوکسیزوم‌ها ممکن است امکان‌پذیر نباشد، زیرا تفاوت‌های اساسی در الکترواستاتیک سطحی وجود دارد. بنابراین سؤال دیگری مطرح شد: آیا می‌توان انداzek کربوکسیزوم سیانوباکتریایی را به طور کامل به کلروپلاست گیاهی وارد کرد؟ توالی‌یابی کامل ژنوم سیانوباکترها نشان داد که تنها یک کپسی از ژن های زیر واحد بزرگ و کوچک رویسکو وجود دارد و آن هم در خوشة ژن کربوکسیزومی کد می‌شود. بنابراین منطقی است که کل خوشة را مستقیماً به کلروپلاست‌های گیاهی وارد کنیم (Iwaki *et al.*, 2006). در یک مطالعه، آلفا کربوکسیزوم‌های کاربردی و ثبیت‌کننده CO₂ در باکتری اشريشیا کلی³ بیان شدند. این مطالعه ثابت می‌کند که ژن های مورد نیاز برای ساخت یک کربوکسیزوم کامل (ده ژن) Bonacci, 2011 را می‌توان به یک میزان خارجی منتقل کرد (Rca). با این حال وارد کردن یک کربوکسیزوم کامل به کلروپلاست بسیار پیچیده‌تر است. ایده معرفی تمام ژن‌های لازم برای ساخت کربوکسیزوم‌های سیانوباکتری در کلروپلاست‌های گیاهان عالی محور بسیاری از مطالعات فعلی را تشکیل می‌دهد و تحقیقات انجام شده باعث افزایش درک ما از ساختمان کربوکسیزوم سیانوباکتریایی شده‌است. برچسب زدن کربوکسیزوم‌ها با فلورستن⁴ نشان

کربوکسیزوم دارای یک غشا پروتئینی نیمه‌تراوا است. منفذ پروتئینی موجود در این غشا دارای بار مثبت هستند که مولکول‌هایی با بار منفی مانند بیکربنات، RuBP و 3-PGA می‌توانند به راحتی از آن عبور کنند ولی مولکول‌های بدون بار مانند CO₂ و O₂ نمی‌توانند از آن عبور کنند. بنابراین مولکول‌های CO₂ که از بیکربنات و توسط آنزیم کربونیک آنهیدراز آزاد شده‌اند در داخل محوطه باقی می‌مانند و مولکول‌های اکسیژن هم اجازه ورود نخواهند داشت. بدین ترتیب تجمع آنزیم‌های رویسکو و کربونیک آنهیدراز در انداzek کربوکسیزوم، منجر به کاهش قابل توجه تنفس نوری در سیانوباکترها شده‌است. مولکول‌های FSPS (فسفوگلیسرات تولید شده توسط آنزیم رویسکو به سیتوپلاسم، جایی که بقیه آنزیم‌های چرخه کالوین-بنسون در آن قرار دارند، منتشر می‌شود) (Tanaka *et al.*, 2008). همانند گیاهان، فعال‌سازی آنزیم رویسکو در سیانوباکترها نیز مستلزم تشکیل یک کاریامات در زنجیره جانی اسید آمینه لیزین در جایگاه فعال آنزیم رویسکو و اتصال آن به یون منیزیم است. همچنین رویسکو سیانوباکترها نیز با اتصال سوبسترای خود یعنی ریبولوز بیس فسفات به جایگاه فعال آنزیم، غیرفعال می‌شود و اگر اسید آمینه لیزین کربامیله نشود، این اتصال محکم‌تر خواهد بود. حذف Rubisco از جایگاه فعال توسط Rca اغلب activase تسهیل می‌شود. ژن کدکننده پروتئین Rca در خوشه‌هایی¹ همراه با ژن‌های کدکننده زیرواحد بزرگ و کوچک رویسکو یافت می‌شوند. تقریباً تمام اکتیووازهای رویسکو در سیانوباکتری‌ها دارای یک دومین پایانه کربوکسیلی اضافی هستند که شیبی زیرواحد کوچک آنزیم رویسکو است. این موضوع نشان می‌دهد که چگونه اتصال Rca به رویسکو ممکن است در سیانوباکتری‌ها تسهیل شود و باعث تجمع آن‌ها همراه با آنزیم رویسکو در کربوکسیزوم شود. قابل توجه است که برخلاف رویسکوهای گیاهی، حدود نیمی از سیانوباکترها قادر هستند و ارتوفسفات² به تهایی می‌تواند باعث فعال شدن رویسکو سیانوباکتریایی شود. ولی در گیاهان، به نظر می

3. *Escherichia coli*
4. Fluorescent labelling

1. Clusters
2. Orthophosphoric acid

توان با استفاده از ژن‌های هترولوج^۴ موجودات دیگر که عملکرد بیوشیمیایی یکسان ولی تشابه نوکلئوتیدی کمی دارند، حل کرد. البته برای تضمین بیان بالای آنزیم‌های معرفی شده باید در نظر داشت که این آنزیم‌ها نیاز به تنظیم آلستریک^۵، تغییرات کوالانتسی^۶ و تغییرات پس از Bonner *et al.*, 2006). تعدادی از ژن‌های سیانوباكتریایی در گیر در فتوسترنز، متabolیسم کربن، بیوسترنز اسیدهای چرب و بیوسترنز کاروتونوئیدها برای افزایش کیفیت و کمیت به گیاهان منتقل شده است که به صورت خلاصه در جدول ۳ ذکر شده است.

بازطراحی فتوسترنز با استفاده از ژن‌های کنترل کننده تغییر استراتژی فتوسترنز در گیاهان Swithching

گیاهان C₃ اجدادی، در طی میلیون‌ها سال، بیش از ۶۰ بار به طور منتقل به گیاهان C₄ تکامل پیدا کرده‌اند. این موضوع نشان می‌دهد تنها تغییرات نسبتاً کوچک تکاملی برای ایجاد یک مسیر فتوسترنز C₄ مورد نیاز بوده است. این تغییرات کوچک گام به گام، هر کدام به تنهایی منجر به ایجاد یک مزیت تکاملی تمایز شده‌اند، منتقل از اینکه آیا به سمت تبدیل کامل گیاه از C₃ به C₄ پیشرفت کرده‌اند یا خیر. بنابراین می‌توان فرض کرد که تکامل C₄ باید از نظر ژنتیکی آسان بوده باشد و این سؤال توسط تعداد زیادی از محققین مطرح شده است که آیا می‌توان از اطلاعات مربوط به معماری ژنتیکی و تکاملی این مسیر استفاده کنیم و الگوهایی از فتوسترنز C₄ را به گیاهان C₃ منتقل کنیم و در نتیجه آنها را به گیاهانی با بازده Gowik and Westhoff, 2011؟ تاکنون تحقیقات زیادی روی دو جنس غیرزراعی Flaveria و Atriplex برای درک تکامل C₄ به C₃ انجام شده است.

داد که آن‌ها به طور مساوی در سلول توزیع شده‌اند. این توزیع فضایی به دلیل برهمنکشن با پروتئین‌های اسکلت سلولی است و به احتمال زیاد تضمین می‌کند که پس از تقسیم سلولی، هر دو سلول دختر تعداد مساوی کربوکسیزوم دریافت می‌کنند. اختلال در دو عنصر اسکلت سلولی به نام های ParA و mreB منجر به مکان‌یابی نادرست کربوکسیزوم‌ها می‌شود. جهش یافته‌هایی که این دو پروتئین را تولید نمی‌کنند، توزیع یکنواختی از کربوکسیزوم‌ها در سیتوپلاسم ندارند و گاهی اوقات سلول‌های دختر بعد از تقسیم سلولی بدون هیچ کربوکسیزومی باقی می‌مانند. این سلول‌ها نقص‌های جدی در رشد داشتند، زیرا مجبور بودند کربوکسیزوم‌های جدید بسازند، در حالی که تثیت CO₂ مختل شده بود (Savage *et al.*, 2010).

انتقال کامل ژن‌های کدکننده کربوکسیزوم سیانوباكترها در گیاهان آلی بسیار چالش‌برانگیز است زیرا نیاز به بیان هماهنگ دههای پروتئین دارد. با این حال در یک تحقیق جدید، حداقل ژن‌های مورد نیاز برای ساخت یک کربوکسیزوم (فرم 1A روییسکو به همراه پروتئین رابط CsoS2 و پروتئین ساختمانی غشاء کربوکسیزوم به نام CsoS1A) با موفقیت از سیانوباكترها به کلروپلاست گیاه تنبایک منتقل شد، بدین صورت که ژن‌های کدکننده زیر واحد بزرگ و کوچک سیانوباكتریایی جایگزین زیر واحد بزرگ روییسکو در کلروپلاست شدند. در این تحقیق با الهام از α-carboxysomes از Cyanobium marinum PCC7001 کربوکسیزوم طراحی و ژن‌های کدکننده آن به کلروپلاست گیاه تنبایک منتقل شدند (Long *et al.*, 2018).

بازطراحی فتوسترنز با ژن‌های سیانوباكتریایی

یکی از دلایل عدم موفقیت در بهبود کارایی فتوسترنز از طریق انتقال ژن‌های مسیر C₄ به گیاهان زراعی C₃ می‌تواند به علت سرکوب شدن^۷ آن‌ها توسط ژن‌های هومولوگ^۸ درون‌زای^۹ گیاه میزبان باشد. این مشکل را می-

4. Heterologous genes

5. Allosteric regulation

6. Covalent modification

7. Post-translational modification

1. Suppression

2. Homologous

3. Endogenous

جدول ۳. برخی از ژن‌های سیانوبکتریایی که برای بهبود کیفیت و کمیت گیاهان به آن‌ها انتقال داده شده‌اند.

Table 3. Some cyanobacterial genes that have been transferred to improve the quality and quantity of plants

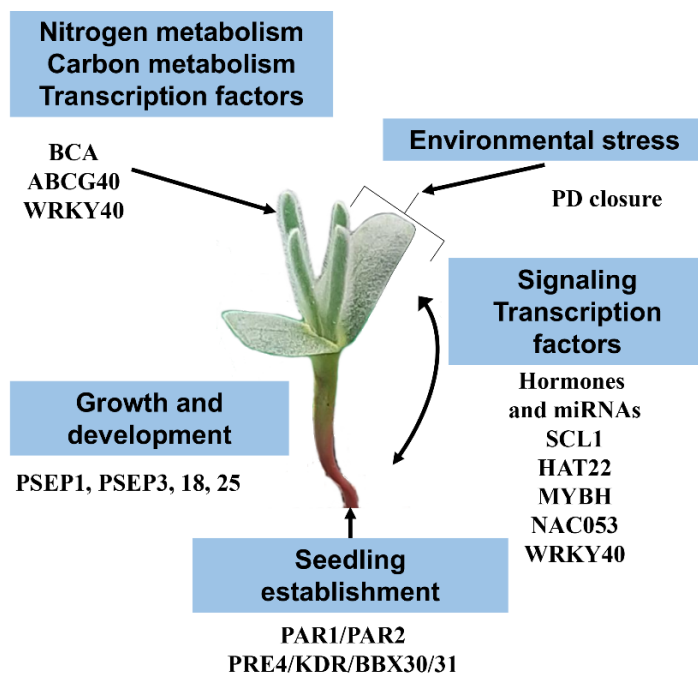
پروتئین	ژن کدکننده	سیانوبکتر	گیاه گیرنده ژن	تغییرات ایجادشده در گیاه تراویخته	رفرنس
desD (D6-desaturase)	Synechocystis sp. PCC 6803	Tobacco	تجمع گاما لینولیک اسید	(Reddy and Thomas, 1996)	
desC (D9-desaturase)	Anacystis nidulans	Tobacco	افزایش لیپیدهای غیراشاع و افزایش مقاومت گیاه در برابر تنفس سرما	(Ishizaki-Nishizawa et al., 1996)	
FBP/SBPase or FBP-(fructose-1,6-/ Isedoheptulose-1,7-bisphosphatase)	Synechococcus PCC 7942	Tobacco	افراش میزان، افزایش بازسازی RuBP، ساکاروز و شاسته گیاه مون اثر بازدارندگی در فتوستتر	(Miyagawa et al., 2001)	
Pds (phytoene desaturase)	Synechococcus PCC 7942	Tobacco	افزایش مقاومت گیاه به علف‌کش‌ها، افزایش مقاومت گیاه در برابر استرس اکسیدانو	(Wagner et al., 2002)	
ictB (inorganic carbon transporter)	Synechococcus PCC 7942	Tobacco, Arabidopsis thaliana	افراش غلظت CO ₂ داخلی، افزایش فتوستتر و رشد	(Lieman-Hurwitz et al., 2003)	
desC (D9-desaturase)	Synechococcus vulcanus	Tobacco	افراش محتوای لیپید گیاه، افزایش بازسازی اسیدهای چرب غیراشاع	(Orlova et al., 2003)	
FBPase-II (fructose-1,6-bisphosphatase)	Synechococcus PCC 7942	Tobacco	تنظیم بازسازی RuBP و سنتز نشاسته، افزایش فتوستتر	(Tamoi et al., 2005)	
crtO (b-carotene ketolase)	Synechocystis sp. PCC 6803	Potato tuber	تجمع یک رنگدانه مشق از بتاکاروتون با خاصیت آنتی اکسیدانتی به نام astaxanthin	(Gerjets and Sandmann, 2006)	
fld (isiB) (flavodoxin).	Anabaena sp.	Tobacco	فلاؤودوکسین، جایگزین فردوکسین در زنجیره انتقال الکترون شد افزایش تحمل گیاه به استرس‌های اکسیداتیو مختلف	(Tognetti et al., 2006)	
desA (acyl-lipid D12-desaturase)	Synechocystis sp. PCC 6803	Potato	افراش مقدار لیپید گیاه و افزایش درجه غیراشاعی اسیدهای چرب	(Reza et al., 2007)	
drnfl	Nostoc flagelliforme	Arabidopsis thaliana	افراش جوانهزنی بدروشد ساقه گیاهان تراویخته تحت تنفس شوری	(Cui et al., 2018)	
ictB	Synechococcus sp strain PCC 7942	Zea mays	افراش میزان نشاسته و ساکارز برگ تا ۲۵ درصد نسبت به گیاه غیرتراویخته	(Koester et al., 2021)	

شده‌است (Schulze et al., 2016). بدین دلیل که این گونه‌ها از نظر فیلوزنی و ژنتیکی نزدیکی قابل توجهی به یکدیگر دارند، تفاوت بیان ژن‌های دخیل در مسیرهای فتوستتری در آن‌ها مستدل‌تر و قابل قیاس‌تر است (Lauterbach et al., 2017). داده‌های حاصل از این مقایسه‌ها، آنزیم‌ها، ترانسپورترها و کاندیداها‌یی برای تنظیم کننده‌های این مسیر و همچنین بخش‌های نیازمند مطالعات بیشتر را بهتر مشخص می‌کند. از طرف دیگر، گونه‌هایی از خانواده Salsoleae وجود دارند که در مرحله (Chenopodiaceae)

در این دو جنس نه تنها بعضی از گونه‌ها دارای فتوستتر C₃ و یا C₄ بودند، بلکه بعضی از گونه‌های این دو جنس نه به طور کامل صفات گیاهان C₃ را نشان می‌دهند و نه C₄ که به این اعضا حد واسطه‌های C₃-C₄ می‌گویند. به عنوان مثال برخی از این گونه‌ها دکربوکسیلاسیون گلیسین را در سلول‌های غلاف آوندی انجام می‌دهند و با بازیافت CO₂ آزاد شده، تنفس نوری را کاهش می‌دهند. همچنین در درجات مختلفی از آناتومی کراتز در اعضا این جنس‌ها دیده

(چه به صورت تک ژن و چه به صورت چند ژن مرتبط به هم) از گیاهان C_4 به گیاهان C_3 ، با هدف بررسی تغییرات آناتومی برگ انجام گرفته است (Slewinski, 2013). اخیراً تجزیه و تحلیل ترانسکریپtom بین هیپوتیکولها در دو مرحله نموی قبل و بعد از تشکیل برگ‌های اولیه با هدف شناسایی ژن‌های تنظیم کننده تغییر استراتژی فتوستتری از C_3 به C_4 در گونه *Halimocnemis mollissima* Bunge صورت گرفته است. در این گونه، برگ‌های کوتیلدونی دارای فتوستتر C_3 بوده و پس از تشکیل برگ‌های اولیه گیاه فتوستتر C_4 از نوع NAD-ME را انجام می‌دهد و بنابراین این گونه جزء گیاهان switching محسوب می‌شود. نتایج این مطالعه فراوانی رونوشت افتراقی چندین ژن تنظیم کننده که قبلاً تحرک آنها از خلال بافت‌های مختلف نشان داده شده بود و گیرنده‌ها ناقل ان مرتبط با آنها در هایپوکوتیل‌های قبل و بعد از شروع فتوستتر C_4 را نشان داد (شکل ۶). مطالعات بیشتر بر روی این گونه‌های switching می‌تواند منجر به شناسایی ژن‌ها و تنظیم کننده‌های درگیر در بروز صفات مرتبط با فتوستتر C_4 از جمله کارآمدی مصرف آب و نیتروژن و نیز تشکیل آناتومی کرانز گردد.

گیاهچه، فتوستتر C_3 در درون برگ‌های لپه‌ای انجام می‌گیرد، در حالی که برگ‌های بالغ فتوستتر C_4 را نشان می‌دهند. برای این نوع از گیاهان از واژه switching استفاده می‌شود، بدین صورت که در گیاهچه خود فتوستتر C_3 را انجام می‌دهند ولی برگ‌های بالغ مکانیسم فتوستتری خود را تغییر داده و مسیر C_4 را انجام می‌دهند. بنابراین، دو بافت متفاوت در یک نمونه گیاه، دو نوع فتوستتر متفاوت را انجام می‌دهند. این ویژگی امکان مقایسه میان دو روش فتوستتر C_3 (گیاهچه یا کوتیلدون) و فتوستتر C_4 (برگ اولیه) را بدون وجود خطاهای فیلوزنتیک و تفاوت‌های بین گونه ای فراهم می‌کند. این تغییر منحصر به فرد مسیرهای فتوستتری در یک گیاه منفرد یک فرصت استثنائی جهت بررسی تکامل مسیر C_4 از مسیر C_3 بدون وجود نویزهای فیلوزنتیک را فراهم می‌آورد (Lauterbach et al., 2017). از طرف دیگر اکثر مطالعات مقایس‌های میان گونه‌های دور و یا نزدیک C_3 و C_4 ، بیشتر در زمینه شناسایی آنزیم‌های فعال در این مسیرها که در گونه‌های C_4 دارای بیان بیشتری هستند و پروتئین‌های انتقال‌دهنده حد واسطه‌ای مسیر C_4 که میان سلول‌های مزوفیل و غلاف آوندی درگیر هستند، انجام گرفته است. به عنوان مثال تحقیقات زیادی روی انتقال ژن



شکل ۶. فتوستتر C_3 در کوتیلدون و فتوستتر C_4 در گیاه *H. mollissima* Bunge و نقش ژن‌های احتمالی در سیگنال دهی بین سلولی و پاسخ‌های محیطی و تنظیم رشد در زمان switching.

Figure 6. C_3 photosynthesis in cotyledons and C_4 photosynthesis in *H. mollissima* Bunge and the role of putative genes in intercellular signaling and environmental responses and growth regulation during switching.

فتوستتر گیاه به C_4 در برگ‌های اولیه نقش ایفا می‌کند که می‌توانند به عنوان ژن‌های کاندیدای در بحث معماری فتوستتر مورد استفاده قرار گیرند. این ژن‌ها با بیان افتراقی متفاوت متعلق به گروه‌های عملکردی متنوعی، از جمله خانواده‌های مختلف فاکتورهای رونویسی^۱، متابولیسم هورمون‌های گیاهی، و پیتیدهای سیگنال‌دهنده بودند (Sadeghi *et al.*, 2024) که بخشی از آن‌ها می‌تواند مربوط به رشد هیپوکوتیل باشد. یافته‌های حاصل از این تحقیق از ارتباط مؤثر و نقش مستقیم کارایی بالاتر نیتروژن و مصرف بهینه آب، مرتبط با فتوستتر C_4 پشتیبانی می‌کند و همچنین بینش گیاهی را در مورد ارتباطات هماهنگ شده بافتی در اندام های هوایی و ریشه گیاه، طی تغییر وابسته به نمو فتوستتر از C_3 به C_4 ، ارائه می‌کند که می‌تواند راه را برای معماری فتوستتر در گیاهان زراعی در آینده نزدیک فراهم نماید (Zolfaghari *et al.*, 2023).

ژن‌های کدکننده *Physcomitrella patens* sORF encoded peptide (PSEP) در تنظیم سرعت رشد، پیری و مرگ سلولی نقش دارد. برخی از ژن‌ها به عنوان مثال PHY RAPIDLY REGULATED 1 (PAR1) و 2 (PAR2) ممکن است منجر به افزایش طول hypocotyl شوند و یا مانند KIDARI (KDR) در تنظیم photomorphogenesis در سرکوب کشیدگی هایپوکوتیل و باز شدن و سبز شدن لپه‌ها نقش داشته باشند. برخی از ژن‌های کدکننده پیتیدها مانند B-BOX DOMAIN PROTEIN (BBX31/BBX30) در تنظیم رشد گیاه‌چه نقش دارند. برخی از فاکتورهای رونویسی مانند SCL1, HAT22, MYBH, NAC053, WRKY40 در زمان تشکیل برگ‌های اولیه (فتوستتر C_4) در گیاهان سوئیچنگ، در هایپوکوتول (فتوستتر C_3) افزایش بیان نشان می‌دهند که احتمال از نقش آن‌ها در واکنش‌های مرتبط با فتوستتر C_4 در این گیاهان دارند. علاوه بر آن برخی ژن‌ها مانند BCA, Beta-carbonic anhydrase و یا WRKY40 در متابولیسم نیتروژن و فتوستتر در زمان تغییر

تعارض منافع

هیچ‌گونه تعارض منافع توسط نویسنندگان وجود ندارد.

نتیجه‌گیری

این مقاله چالش‌ها و امکان بازطراحی فتوسنتز برای بهبود عملکرد محصولات کشاورزی را مورد بررسی قرار می‌دهد. با توجه به چالش‌های ناشی از تغییرات اقلیمی و افزایش تقاضا برای غذا، این دستاوردها می‌توانند راهکارهای مؤثری برای مقابله با مشکلات جهانی تأمین غذا فراهم کنند. فتوسنتز C_4 نیازمند سازگاری‌های بیوشیمیایی و آناتومیکی پیچیده‌ای مانند آناتومی کرانز است که در گیاهان C_3 وجود ندارد. این فرآیندها با عملکرد چندین ژن به همراه یکپارچه‌سازی متابولیکی و تعادل انرژی توسعه یافته‌است. اگرچه بیش بیان برخی آنژیم‌های C_4 در گیاهان C_3 جهت بهبود عملکرد فتوسنتز تا حدی موفق بوده است، با این حال دستیابی به فتوسنتز C_4 کاملاً عملکردی در گیاهان C_3 موفق نبوده است. بررسی‌های حال حاضر نشان می‌دهد که انتقال ژن‌ها و آنژیم‌های کلیدی از موجودات فتوسنتزکنده ساده‌تر، مانند سیانوباکترها و جلبک‌ها، می‌تواند به بهبود کارایی فرآیندهای فتوسنتزی و در نتیجه افزایش بازده محصولات کشاورزی کمک کند. پیشرفت‌های اخیر در مهندسی مسیرهای فتوسنتزی، از جمله معرفی مکانیزم‌های متمنکرکننده کرین از سیانوباکترها، نتایج امیدوارکننده‌ای در بهبود کارایی فتوسنتزی نشان داده‌اند. علاوه بر این، اصلاح تنفس نوری از طریق وارد کردن آنژیم‌های کلیدی از جلبک‌ها یا استفاده از رویکردهای زیست‌شناسی مصنوعی^۱ می‌تواند به طور چشمگیری بازده محصول و مقاومت گیاهان به تنش‌های محیطی را افزایش دهد. این اصلاحات ژنتیکی می‌توانند منجر به جذب بهینه CO_2 ، کاهش اتلاف انرژی و افزایش تولید زیست‌توده^۲ گیاهی شوند. علاوه بر این، تحقیق بر روی روی گیاهان switching به دلیل کاهش نویز تکاملی می‌تواند منجر به شناسایی ژن‌هایی که در یکپارچه‌سازی متابولیکی و تعادل انرژی نقش دارند، شود. در نهایت، با شناخت راهکارهای معماری فتوسنتز می‌توان نوآوری‌های جدیدی را برای توسعه گیاهان مقاوم‌تر و پر بازده‌تر برای اکوسیستم کشاورزی پایدار ارائه کرد.

1. Artificial biology

2. Biomass

References

- Arce, R. C., Vicino, P., Demarchi, M., & Lodeyro, A. F. (2022). Back to the past: Improving photosynthesis with cyanobacterial genes. *Cyanobacterial Lifestyle and its Applications in Biotechnology*
- Bauwe, H., Hagemann, M., & Fernie, A. R. (2010). Photorespiration: Players, partners, and origin. *Trends in Plant Science*, 15(6), 330-336.
- Bonacci, W., Teng, P.K., Afonso, B., Niederholtmeyer, H., Grob, P., Silver, P. A., & Savage, D.F. (2011). Modularity of a carbon-fixing protein organelle. *Proceedings of the National Academy of Sciences, USA*, 109, 478-483.
- Bonner, E., Van de Peer, Y., & Rouzé, P. (2006). The small RNA world of plants. *New Phytologist*, 171, 451-468.
- Brown, H., & Bouton, J. H. (1993). Physiology and genetics of interspecific hybrids between photosynthetic types. *Annual Review of Plant Biology*, 44(1), 435-456.
- Chen, Y., & Xu, D.-Q. (2007). Changes in leaf photosynthesis of transgenic rice with silenced OsBP-73 gene. *Photosynthetica*, 45(3), 419-425.
- Chida, H., Nakazawa, A., Akazaki, H., Hirano, T., Suruga, K., Ogawa, M., Satoh, T., Kadokura, K., Yamada, S., Hakamata, W., Isobe, K., Ito, T., Ishii, R., Nishio, T., Sonoike, K., & Oku, T. (2007). Expression of the algal cytochrome c6 gene in *Arabidopsis* enhances photosynthesis and growth. *Plant and Cell Physiology*, 48, 948-957.
- Cui, L., Liu, Y., Yang, Y., Ye, S., Luo, H., Qiu, B., & Gao, X. (2018). The *drnfl* gene from the drought-adapted cyanobacterium *Nostoc flagelliforme* improved salt tolerance in transgenic *Synechocystis* and *Arabidopsis* plants. *Genes*, 9, 441.
- Flügge, U.-I., Westhoff, P., & Leister, D. (2016). Recent advances in understanding photosynthesis. *F1000Research*, 5.
- Gerjets, T., & Sandmann, G. (2006). Ketocarotenoid formation in transgenic potato. *Journal of Experimental Botany*, 57, 3639-3645.
- Gowik, U., & Westhoff, P. (2011). The path from C₃ to C₄ photosynthesis. *Plant Physiology*, 155(1), 56-63.
- Ishizaki-Nishizawa, O., Fujii, T., Azuma, M., Sekiguchi, K., Murata, N., Ohtani, T., & Toguri, T. (1996). Low-temperature resistance of higher plants is significantly enhanced by a nonspecific cyanobacterial desaturase. *Nature Biotechnology*, 14, 1003-1006.
- Iwaki, T., Haranoh, K., Inoue, N., et al. (2006). Expression of foreign type I ribulose-1,5-bisphosphate carboxylase/oxygenase (EC 4.1.1.39) stimulates photosynthesis in cyanobacterium *Synechococcus* PCC7942 cells. *Photosynthesis Research*, 88, 287-297.
- Karki, S., Rizal, G., & Quick, W. P. (2013). Improvement of photosynthesis in rice (*Oryza sativa* L.) by inserting the C₄ pathway. *Rice*, 6(1), 1-8.
- Keys, A. (1986). Rubisco: Its role in photorespiration. *Philosophical Transactions of the Royal Society of London B: Biological Sciences*, 313(1162), 325-336.
- Koester, R. P., Pignon, C. P., Kesler, D. C., Willison, R. S., Kang, M., Shen, Y., Priest, H. D., Begemann, M. B., Cook, K. A., Bannon, G. A., & Oufattale, M. (2021). Transgenic insertion of the cyanobacterial membrane protein ictB increases grain yield in *Zea mays* through increased photosynthesis and carbohydrate production. *PLoS ONE*, 16(2).
- Lauterbach, M., et al. (2017). C₃ cotyledons are followed by C₄ leaves: intra-individual transcriptome analysis of *Salsola soda* (Chenopodiaceae). *Journal of Experimental Botany*, 68(2), 161-176.
- Lieman-Hurwitz, J., Asipov, L., Rachmilevitch, S., Marcus, Y., & Kaplan, A. (2005). Expression of cyanobacterial ictB in higher plants enhanced photosynthesis and growth. In K. Omasa, I. Nouchi, & L. J. de Kok (Eds.), *Plant Responses to Air Pollution and Global Change* (pp. 133-139). Springer Verlag.
- Lieman-Hurwitz, J., Rachmilevitch, S., Mittler, R., Marcus, Y., & Kaplan, A. (2003). Enhanced photosynthesis and growth of transgenic plant that express ictB, a gene involved in HCO₃⁻ accumulation in cyanobacteria. *Plant Biotechnology Journal*, 1, 43-50.
- Long, B. M., Hee, W.Y., Sharwood, R. E., Rae, B. D., Kaines, S., Lim, Y. L., Nguyen, N. D., Massey, B., Bala, S., Caemmere, S. V., Badger, M. R., Price, G. D. (2018). Carboxysome encapsulation of the CO₂fixing enzyme Rubisco in tobacco chloroplasts. *Nature Communications*, 9, 3570.
- Miyagawa, Y., Tamoi, M., & Shigeoka, S. (2001). Overexpression of a cyanobacterial fructose-1,6-/sedoheptulose-1,7-bisphosphatase in tobacco enhances photosynthesis and growth. *Nature Biotechnology*, 19, 965-969.
- Miziorko, H. M., & Lorimer, G. H. (1983). Ribulose-1, 5-bisphosphate carboxylase-oxygenase. *Annual Review of Biochemistry*.
- Orlova, I. V., Serebriiskaya, T. S., Popov, V., Merkulova, N., Nosov, A. M., Trunova, T. I., Tsydenambayev, V. D., & Los, D. A. (2003). Transformation of tobacco with a gene for the

- thermophilic acyl-lipid desaturase enhances the chilling tolerance of plants. *Plant and Cell Physiology*, 44, 447–450.
- Parry, M. A. J., Andralojc, P. J., Mitchell, R. A. C., Madgwick, P. J., & Keys, A. J. (2003). Manipulation of Rubisco: The amount, activity, function, and regulation. *Journal of Experimental Botany*.
- Portis, A. R., Jr. (2003). Rubisco activase – Rubisco's catalytic chaperone. *Photosynthesis Research*, 75, 11–27.
- Prywes, N., Phillips, N. R., Tuck, O., T., Valentín-Alvarado, L., E., & Savage, D., F. (2023). Rubisco Function, Evolution, and Engineering. *Annual Review of Biochemistry*, 92:385–410
- Raines, C. A. (2006). Transgenic approaches to manipulate the environmental responses of the C₃ carbon fixation cycle. *Plant, Cell and Environment*, 29, 331–339.
- Rao, X., & Dixon, R. A (2016). The Differences between NAD-ME and NADP-ME Subtypes of C₄ Photosynthesis: More than Decarboxylating Enzymes. *Frontiers in Plant Science*, 7:1525
- Reddy, A. S., & Thomas, T. L. (1996). Expression of a cyanobacteria delta 6-desaturase gene results in gamma-linolenic acid production in transgenic plants. *Nature Biotechnology*, 14, 639–642.
- Reza, M. A., Goldenkova-Pavlova, I. V., Pchelkin, V. P., Tsydendambaev, V. D., Los, D. A., & Nosov, A. M. (2007). Acyl-lipid D12-desaturase of the cyanobacterium increases the unsaturation degree in transgenic potato (*Solanum tuberosum* L.). *Biologia*, 53, 4–7.
- Romanowska, E., Wasilewska-Dębowska, W. (2022). Light-Dependent Reactions of Photosynthesis in Mesophyll and Bundle Sheath Chloroplasts of C₄ Plant Maize. How Our Views Have Changed in Recent Years. *Acta Societatis Botanicorum Poloniae*, 91
- Ruan, C.-J., Shao, H.-B., & Teixeira da Silva, J. A. (2012). A critical review on the improvement of photosynthetic carbon assimilation in C₃ plants using genetic engineering. *Critical Reviews in Biotechnology*, 32(1), 1–21.
- Sadeghi, M., Ghaffari, M. R., Banaei-Moghaddam, A. M. (2024). Identification of photosynthesis key players: promising approaches for C₃ crop engineering. *6th International & 18th Iranian Genetics Congress. Shahid Beheshti university, Tehran* 22 to 24 May 2024
- Sadeghi, M., Ghaffari, M. R., Banaei-Moghaddam, A. M. (2024). Identification of Microproteins Involved in the Developmental Transition from C₃ to C₄ Photosynthesis in the *Halimocnemis mollissima* Bunge through Analysis of Long Non-Coding RNA Profiles. *23rd National and 11th International Iranian Biology Congress (IBC)*. 11-23 Sep.2024
- Sage, R.F. (2004). The evolution of C₄ photosynthesis. *New Phytologist*, 161(2),341-370.
- Salesse-Smith, C. E., Wang, Y & Long, S. P. (2024). Increasing Rubisco as a simple means to enhance photosynthesis and productivity now without lowering nitrogen use efficiency. *New Phytologist*
- Savage, D. F., Afonso, B., Chen, A. H., & Silver, P. A. (2010). Spatially ordered dynamics of the bacterial carbon fixation machinery. *Science*, 327, 1258–1261.
- Schluz, S., Westhoff, P., & Gowik, U. (2016). Glycine decarboxylase in C₃, C₄, and C₃-C₄ intermediate species. *Current Opinion in Plant Biology*, 31, 29–35.
- Slewiński, TL., (2013). Using evolution as a guide to engineer Kranz-type C₄ photosynthesis. *Frontiers in Plant Science* 4, 1–13.
- Tamoi, M., Nagaoka, M., Yabuta, Y., & Shigeoka, S. (2005). Carbon metabolism in the Calvin cycle. *Plant Biotechnology*, 22, 355–360.
- Tanaka, S., Kerfeld, C. A., Sawaya, M. R., Cai, F., Heinhorst, S., Cannon, G. C., & Yeates, T. O. (2008). Atomic-level models of the bacterial carboxysome shell. *Science*, 319, 1083–1086.
- Tognetti, V. B., Palatnik, J. F., Fillat, M. F., Melzer, M., Hajirezaei, M. R., Valle, E. M., & Carrillo, N. (2006). Functional replacement of ferredoxin by a cyanobacterial flavodoxin in tobacco confers broad-range stress tolerance. *Plant Cell*, 18, 2035–2050.
- Treves, H., Küken, A., Arrivault, S., Ishihara, H., Hoppe, I., Erban, A., Höhne, M., Moraes, T. A., & Kopka, J. (2022). Carbon flux through photosynthesis and central carbon metabolism show distinct patterns between algae, C₃, and C₄ plants. *Nature Plants*.
- Wagner, T., Windhövel, U., & Römer, S. (2002). Transformation of tobacco with a mutated cyanobacterial phytoene desaturase gene confers resistance to bleaching herbicides. *Zeitschrift für Naturforschung C*, 57, 671–679.
- Walter, J., Kromdijk, J. (2021). Here comes the sun: How optimization of photosynthetic light reactions can boost crop yields. *Journal of Integrative Plant Biology*, 64: 564–591
- Woodrow, I. E., & Mott, K. A. (1993). Modeling C₃ photosynthesis: A sensitivity analysis of the photosynthetic carbon reduction cycle. *Planta*, 191, 421–432.
- Zolfaghari, M., Rutten, T., Ghaffari, M. R., Banaei-Moghaddam, A. M., (2023). Comparative Transcriptome Analysis of Hypocotyls During the Developmental Transition of C₃ cotyledons to C₄ Leaves in *Halimocnemis mollissima* Bunge. *Journal of Plant Growth Regulation*, 1-17.